



دانشگاه اسلامی
بلوچستان

تحصیلات تكمیلی

پایان نامه کارشناسی ارشد در (مهندسی شیمی گرایش پدیده انتقال)

عنوان:

شبیه‌سازی و کنترل پیل سوختی هیدروژنی توسط نرم افزار MATLAB

استاد راهنما:

دکتر جعفر صادقی

استاد مشاور:

دکتر رهبر رحیمی

تحقیق و نگارش:

علی جمالی نوذری

(این پایان نامه از حمایت مالی معاونت پژوهشی دانشگاه سیستان و بلوچستان بهره مند شده است)

شهریور ۱۳۹۰

بسمه تعالی

این پایان نامه با عنوان شبیه‌سازی و کنترل پیل‌سوختی هیدرولیکی قسمتی از برنامه آموزشی دوره کارشناسی ارشد مهندسی شیمی توسط دانشجو علی جمالی نوذری با راهنمایی استاد پایان نامه دکتر جعفر صادقی تهیه شده است. استفاده از مطالب آن به منظور اهداف آموزشی با ذکر مرجع و اطلاع کتبی به حوزه تحصیلات تکمیلی دانشگاه سیستان و بلوچستان مجاز می‌باشد.

(نام و امضاء دانشجو)

علی جمالی نوذری

این پایان نامه ۸ واحد درسی شناخته می‌شود و در تاریخ توسط هیئت داوران بررسی و درجه به آن تعلق گرفت.

نام و نام خانوادگی	امضاء	تاریخ
دکتر جعفر صادقی	استاد راهنما:	
دکتر رهبر رحیمی	استاد مشاور:	
دکتر عبدالرضا صمیمی	داور ۱:	
دکتر سید سعید توکلی	داور ۲:	
دکتر رودینی	نماینده تحصیلات تکمیلی:	



دانشگاه سیستان و بلوچستان

تعهدهنامه اصالت اثر

اینجانب علی جمالی نوذری تعهد می کنم که مطالب مندرج در این پایان نامه حاصل کار پژوهشی اینجانب است و به دستاوردهای پژوهشی دیگران که در این نوشته از آن استفاده شده است مطابق مقررات ارجاع گردیده است. این پایان نامه پیش از این برای احراز هیچ مدرک هم سطح یا بالاتر ارائه نشده است.

کلیه حقوق مادی و معنوی این اثر متعلق به دانشگاه سیستان و بلوچستان می باشد.

نام و نام خانوادگی دانشجو: علی جمالی نوذری

امضاء

تقدیم به:

پدر بزرگوار، مادر مهربان
و همسر عزیزم

سپاسگزاری

در ابتدا از زحمات بی‌درباره استاد گرانقدرم دکتر جعفر صادقی تشکر می‌کنم که مطمئناً بدون راهنمایی‌های ارزشمند، زحمات بی‌درباره، تشویق و صبوری پدرانه ایشان این کار صورت نمی‌گرفت. همچنین از پدر و مادر مهربان و فداکارم که در هر شرایطی حامی و پشتیبانم بودند و در هر زمانی مهر و محبتshan ما به دلگرمی و دعای خیرشان بدرقه راهم بوده، از صمیم قلب سپاسگذارم. از همسر عزیزم که در این مدت صبورانه مرا یاری نمود و کمک بی‌درباره تنظیم و ویرایش متن، موجب ارائه هرچه بهتر پایان‌نامه گردید، صمیمانه سپاسگذارم.

از دکتر توکلی برای همفکری و از همه‌ی اساتید محترم و دوستان گرانقدرم که کمکشان موجب پیش‌برد این پایان‌نامه شد تشکر فراوان می‌کنم.

چکیده:

سیستم‌های پیل‌سوختی کلید تامین انرژی پاک و مطمئن بر پایه هیدروژن و الکتریسته است. در این میان

پیل‌سوختی‌هیدروژنی بهدلیل کار در دمای پایین عملیاتی، دانسیته توان بالا و حجم محدود بیشتر از انواع

پیل‌های سوختی مورد توجه قرار گرفته است. در این پایان‌نامه مدل دینامیکی پیل‌سوختی‌هیدروژنی براساس

معادلات تئوری و تجربی برای پیش‌بینی هر دو حالت آرام و گذرا شبیه‌سازی شده است و در ادامه به کنترل

پیل‌سوختی برای بدست آوردن پاسخی سریع و آرام پرداخته است.

سه مسئله مهم کنترلی در مورد پیل‌سوختی‌هیدروژنی مورد بررسی قرار گرفت. در ابتدا کنترل تامین اکسیژن

با هدف مینیمم کردن اختلاف فشار دو طرف غشا انجام شد. توجه بیشتر به کنترل تامین اکسیژن با طراحی

الگوریتم‌های متفاوت کنترلی با هدف پرهیز از کمبود اکسیژن، تضمین سطح ایمنی λ و پاسخ‌گذایی سریع

برای تامین اکسیژن در برابر تغییرات بار ناگهانی صورت گرفت. در قسمت سوم به کنترل دما با هدف تنظیم

سیستم در دمای مشخص توسط کنترل‌کننده با اختتام انتگرال‌گیر انجام شد.

سیستم کنترلی براساس مدل خطی کنترلی طراحی شد. پارامترهای کنترل‌کننده برپایه معیار ITAE توسط

الگوریتم ژنتیک تنظیم شد. حساسیت سیستم نیز توسط معیار M_s به عنوان یکی از پارامترهای بررسی تنظیم

مناسب سیستم برای هر یک از پارامترهای کنترل‌کننده محاسبه شد.

کلمات کلیدی: پیل‌سوختی، شبیه‌سازی، کنترل، تنظیم، M_s , ITAE

فهرست مطالب

صفحه	عنوان
	فصل اول: مقدمه
۱	۱ نیاز به سیستم‌های انرژی تجدیدپذیر
۵	۲-۱ اهداف پایان‌نامه
۶	۳-۱ سازمان‌دهی فصل‌ها
۸	فصل دوم: مروری بر سیستم‌های پیل‌سوختی
۹	۱-۲ سیستم پیل‌سوختی هیدروژنی
۹	۱-۱-۲ ساختار پیل‌سوختی هیدروژنی
۱۱	۲-۱-۲ مزیت‌ها و معایب پیل‌سوختی هیدروژنی
۱۳	۳-۱-۲ تاریخچه پیل‌سوختی
۱۵	۴-۱-۲ ولتاژ پیل‌سوختی
۱۶	۵-۱-۲ زیر سیستم‌های پیل‌سوختی
۱۸	۲-۲ کنترل پیل‌سوختی هیدروژنی
۱۸	۱-۲-۲ توان خروجی
۱۸	۲-۲-۲ کنترل تامین هیدروژن
۱۹	۳-۲-۲ کنترل ضریب دسترسي به اکسیژن
۲۰	۴-۲-۲ کنترل پذیری سیستم
۲۰	۵-۲-۲ بهبود بازدهی سیستم
۲۱	۳-۲ کنترل فرآیند
۲۱	۱-۳-۲ مختصری از تاریخچه کنترل PID
۲۲	۲-۳-۲ تنظیم کنترل PID

۲۳	فصل سوم: مدل‌سازی پیل‌سوختی هیدروژنی
۳۴	۱-۳ ولتاژ پیل‌سوختی
۳۴	۱-۱-۳ ولتاژ مدار باز پیل‌سوختی
۳۷	۲-۱-۳ افت اکتیواسیون
۳۹	۳-۱-۳ افت اهمی
۴۱	۴-۱-۳ افت غلظت
۴۳	۲-۳ موازنۀ جرم
۴۳	۱-۲-۳ موازنۀ جرم سمت کاتد
۴۶	۲-۲-۳ موازنۀ جرم سمت آند
۴۹	۳-۳ موازنۀ حرارتی کل پیل‌سوختی
۵۱	۴-۳ کمپرسور
۵۱	۵-۳ فن خنک کن
۵۳	۶-۳ تاثیر شرایط عملیاتی بر نمودار پلاریزاسیون
۵۳	۱-۶-۳ فشار عملیاتی سیستم
۵۵	۲-۶-۳ دما عملیاتی سیستم
۵۸	۳-۶-۳ استوکیومتری هوای ورودی
۶۰	فصل چهارم: کنترل و آنالیز پیل‌سوختی هیدروژنی
۶۱	۱-۴ کنترل تامین هیدروژن
۶۴	۲-۴ کنترل تامین اکسیژن
۶۶	۱-۲-۴ کنترل PID با فیدبک منفی
۷۰	۲-۲-۴ وزن‌دهی با ورودی مرجع
۷۲	۳-۲-۴ سیستم با دو درجه آزادی
۷۴	۴-۲-۴ کنترل کننده مربع خطأ
۷۶	۳-۴ کنترل دما

۸۴ فصل پنجم: نتایج و پیشنهادات برای کارهای آینده.....
۸۵ ۱-۵ نتایج کلی
۸۶ ۲-۵ پیشنهادات برای کارهای آینده
 مراجع.....
 پیوست‌ها.....
 پیوست (الف) - شبیه‌سازی پیل‌سوختی هیدرولوژی در محیط سیمولینک MATLAB
 پیوست (ب) - تنظیم کنترل‌کننده‌ها براساس معیار ITAE توسط الگوریتم ژنتیک
 پیوست (ج) - محاسبه حساسیت سیستم حلقه بسته در حوزه زمان

فهرست جداول ها

عنوان جدول	صفحه
جدول ۱-۱ تخمین هزینه سیستم‌های متفاوت پیل‌سوختی در بلند مدت	۴
جدول شماره ۱-۳ آنتروپی و آنتالپی تشکیل استاندارد برای واکنش‌دهنده‌ها و محصول پیل‌سوختی	۳۷
جدول ۲-۳ مقادیر در نظر گرفته در مدل ارائه شده	۵۲
جدول ۴-۱ پارامترهای ارزیابی پاسخ گذرا و پاسخ به ورودی مرجع کنترل‌کننده‌های متفاوت	۷۶
جدول ۴-۲ معیار ITAE و حساسیت کنترل‌کننده‌های متفاوت	۷۶

فهرست شکل ها

عنوان شکل	صفحه
شکل ۱-۱ انرژی اولیه کل جهان از ۱۹۷۱-۲۰۰۶ بوسیله سوخت(دیگر سوخت شامل: زمین گرمایی، خورشید، باد، حرارت و غیره)	۲
شکل ۱-۲ نفت کشف شده در طی دوره ۱۹۳۰-۲۰۰۰	۳
شکل ۱-۳ آلودگی جهانی CO_2 بوسیله سوخت از ۱۹۷۱-۲۰۰۶	۴
شکل ۲-۱ شماتیک پیل سوختی	۱۰
شکل ۲-۲ اجزای متفاوت پیل سوختی	۱۱
شکل ۲-۳ شماتیک باتری Grove	۱۴
شکل ۲-۴ سازمان دهی روش های تنظیم کنترل کننده های PID	۲۳
شکل ۲-۵ طبقه بندی قانون های تنظیم کنترل کننده های PID براساس رویکرد محاسباتی	۲۳
شکل ۲-۶ تاثیر پارامتر های کنترل کننده PID در نمودار نایکوئیست	۲۵
شکل ۲-۷ بلوك دیاگرام یک فرآیند تحت فیدبک رله	۲۶
شکل ۲-۸ تعیین مشخصات پاسخ پله در روش پاسخ پله ای زیگلر-نیکولز	۲۹
شکل ۲-۹ ساختار ساده قطب- صفر برای یک سیستم فیدبک ساده	۳۰
شکل ۲-۱۰ تعریف حساسیت (M_s), حاشیه بهره (A_m) و حاشیه فاز (φ_m) بر روی نمودار نایکوئیست	۳۱
شکل ۳-۱ نمودار پلاریزاسیون پیل سوختی با در نظر گرفتن سه منطقه افت ولتاژ در آن	۳۸
شکل ۳-۲ تاثیر تغییرات چگالی تبادل کننده یونی	۳۹
شکل ۳-۳ تاثیر ضریب بار انتقالی در افت اکتیواسیون	۳۹
شکل ۳-۴ تاثیر عدد شروود در نمودار پلاریزاسیون	۴۲
	۵۲

		شکل ۱۲-۴ پاسخ گذرا و پاسخ به ورودی مرجع به وزن دهی ورودی مرجع
۷۱		شکل ۱۱-۴ پاسخ گذرا و ورودی مرجع با کنترل کننده PID
۷۰		شکل ۱۰-۴ نمودار نایکوئیست سیستم حلقه بسته
۶۹		شکل ۹-۴ نمودار بود سیستم حلقه بسته
۶۸		شکل ۸-۴ نمودار مکان هندسی ریشه های سیستم حلقه بسته
۶۸		شکل ۷-۴ نمودار نایکوئیست تابع تبدیل کمپرسور ارائه شده
۶۷		شکل ۶-۴ نمودار بود تابع تبدیل کمپرسور ارائه شده
۶۶		شکل ۵-۴ نمودار مکان هندسی کمپرسور
۶۴		شکل ۴-۴ نمودار بلوکی سیستم کنترل جریان هوا و ورودی به پیل سوتی
۶۳		شکل ۳-۴ به ترتیب تغییر ضریب K شیر خروجی آند و تاثیر آن بر فشار سمت آند
۶۲		شکل ۲-۴ دنبال کنندگی فشار سمت آند نسبت به فشار سمت کاند
۶۲		شکل ۱-۴ کنترل نسبی بر پایه اختلاف فشار سمت کاتد و آند
۶۱		شکل ۱۵-۳ تاثیر استوکیومتری هوا بر افت غلظت
۵۹		شکل ۱۴-۳ تاثیر استوکیومتری هوا ورودی بر نمودار پلاریزاسیون
۵۸		شکل ۱۳-۳ تاثیر دما بر روی افت غلظت
۵۷		شکل ۱۲-۳ تاثیر دما برافت اهمی
۵۷		شکل ۱۱-۳ تاثیر دما بر روی افت اکتیواسیون
۵۶		شکل ۱۰-۳ تاثیر دما بر روی ولتاژ مدار باز
۵۵		شکل ۸-۳ تاثیر فشار بر روی افت غلظت
۵۴		شکل ۷-۳ تاثیر فشار بر روی ولتاژ مدار باز
۵۴		شکل ۶-۳ تاثیر فشار بر روی نمودار پلاریزاسیون
		کلوبین
	۵۰	شکل ۵-۳ نمودار پلاریزاسیون مدل ارائه شده در فشار عملیاتی ۱۰۰ کیلوپاسکال و دمای ۳۰-۸ درجه

شکل ۱۳-۴ پاسخ گذرا پاسخ به ورودی مرجع کنترل کننده PID با وزن دهی ورودی مرجع با	۷۲
c=0	
شکل ۱۴-۱ پاسخ گذرا و ورودی مرجع با کنترل کننده با دو درجه آزادی	۷۳
شکل ۱۴-۲ پاسخ گذرا و ورودی مرجع با کنترل کننده با دو درجه آزادی به همراه وزن دهی	۷۳
ورودی مرجع	
شکل ۱۵-۴ پاسخ گذرا و پاسخ به ورودی مرجع به کنترل کننده PID به همراه مربع خطأ	۷۴
شکل ۱۶-۴ پاسخ گذرا و پاسخ به ورودی مرجع به کنترل کننده PID به همراه مربع خطأ و وزن دهی به ورودی مرجع	۷۵
شکل ۱۷-۴ به ترتیب سیگنال کنترلی فن و پاسخ سیستم به کنترل کننده PI	۷۷
شکل ۱۸-۴ سیگنال جزء انتگرالی با کنترل کننده PI	۷۹
شکل ۱۹-۴ نمودار بلوکی کنترل کننده با اختتام انتگرال گیر	۷۹
شکل ۲۰-۴ به ترتیب سیگنال کنترلی و پاسخ سیستم با روش محاسبه معکوس	۸۰
شکل ۲۱-۴ به ترتیب از بالا بار الکتریکی به پیل سوتی، ضریب دسترسی به اکسیژن براساس بار الکتریکی، تغییرات فشار در سمت آند و کاتد، تغییر ولتاژ پیل سوتی، جریان هوای ورودی به پیل سوتی و سیگنال کنترلی کمپرسور	۸۳

فهرست علائم

نشانه	علامت
ثابت جهانی گازها	$R(J.(Kg.K)^{-1})$
دما	$T(K)$
عدد فارادی	$F(coulombs/gmol$ electron)
پتانسیل	$E(V)$
ولتاژ	V
انرژی گیبس	$\Delta G(J.mol^{-1})$
فشار	$P(KPa)$
اختلاف آنتالپی	$\Delta H(J.mol^{-1})$
اختلاف انتروپی	$\Delta S(J.(mol.K)^{-1})$
ظرفیت حرارتی	$C_p(J.(mol.k)^{-1})$
آنتالپی	$h(J.mol^{-1})$
آنتروپی	$s(J.(mol.K)^{-1})$
چگالی جریان	$i(A.cm^{-2})$
چگالی جریان تبادل کننده	$i_o(A.cm^{-2})$
ضخامت	$t(m)$
ضریب فعالیت	A
چگالی جریان محدود	$i_L(A.cm^{-2})$
غلظت	$C(mol.m^{-3})$
ضخامت	$\delta(m)$

ضریب تاثیر	$D(m^2.s^{-1})$
عدد شروود	Sh
جرم	$m(gr)$
سرعت جرمی	$m^0(gr.s^{-1})$
حجم	$M(kg.mol^{-1})$
دبی	$V(m^3)$
ضریب مولی	$Q(mol.min^{-1})$
رطوبت نسبی	RH(%)
اسنوکیومتری	S
تعداد	N
ضریب باز وبسته شدن شیر	$K(kg.(KPa.s)^{-1})$
توان	P(W)
زمان	t(sec)
آمپر	I(A)
سطح	$A(m^2)$
خطا	E
خروجی	Y
ضریب بار الکتریکی	α
هدایت الکتریکی	σ
ضریب دستری	λ
تخلخل	ϕ
ضریب تشعش	ϵ
ثابت استفان بولتزمن	$\sigma(w.m^{-2}.k^{-4})$
زیرنویس‌ها و بالا نویس‌ها	

گاز	g
مایع	l
مرجع	o
هیدروژن	H ₂
اکسیژن	O ₂
آب	H ₂ O
نیتروژن	N ₂
اکتیواسیون	act
اهمی	ohm
غلظت	conc
تعداد الکترون	n
غشاء	m
آب	w
اشباع	sat
نفوذ	eff
دوتایی	ij
کاتد	ca
آند	an
ورودی	in
خروجی	out
توده	fc
تولید	gen
سل	cell
اشباع آب	vs
واکنش	reac

تشعش	rad
طبيعي	nat
اجبارى	forc
جابجایی	conv
نقطه مرجع	sp

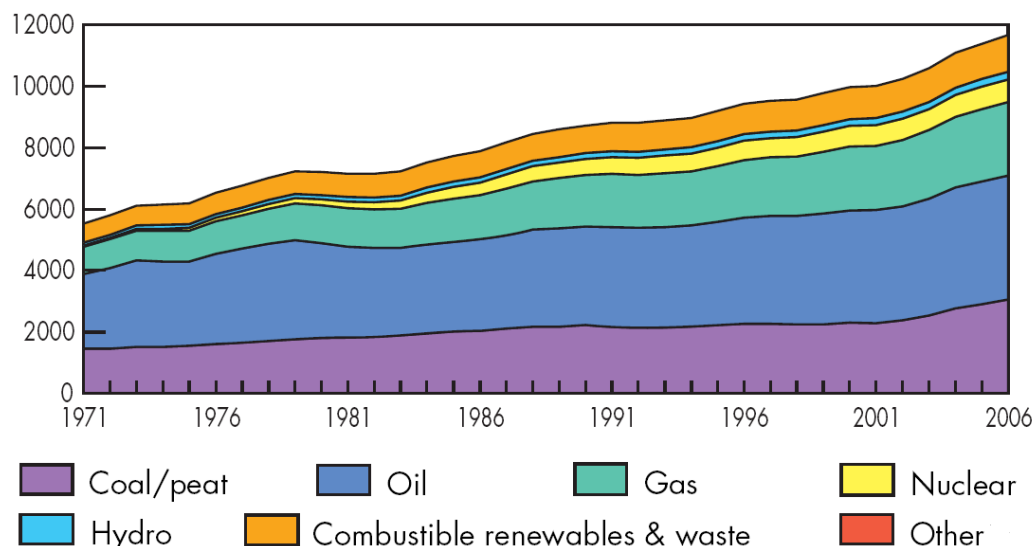
فصل اول

مقدمه

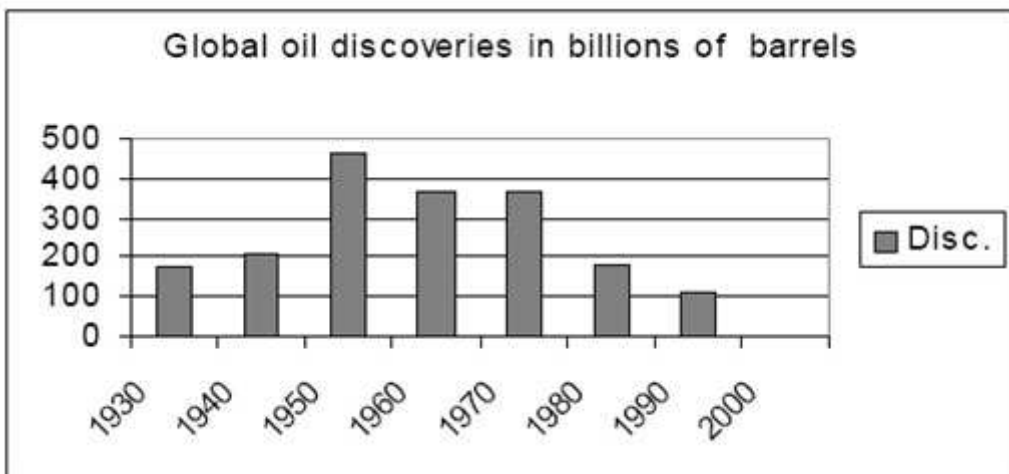
۱-۱ نیاز به سیستم‌های انرژی تجدیدپذیر

محیط زیست و انرژی از مسائل مهم کشورها در قرن ۲۱ می‌باشد. در حال حاضر با در نظر گرفتن سطح برداشت جهانی از ذخایر نفت، ذخیره نفت تنها برای ۴۰ سال آینده کافی است [1]. به دلیل رشد سریع اقتصاد جهانی و افزایش مصرف نفت به طوری که کل مصرف انرژی اولیه از ۶۱۱۵Mton در سال ۱۹۷۳ به ۱۱۷۴۱Mton در سال ۲۰۰۶ افزایش یافته‌است (شکل ۱-۱) [2]. و کاهش مقدار کشف نفت در طی دهه ۱۹۹۰ نسبت به دهه ۱۹۵۰ (شکل ۱-۲) [1] می‌توان گفت ذخایر نفت در زمانی کوتاه‌تری به اتمام خواهد رسید. علاوه بر این میزان آلودگی CO_2 در سال ۱۹۷۳ از ۱۵۶۴۰Mton به ۲۸۰۰۳Mton در سال ۲۰۰۶ در رسیده است (شکل ۱-۳).

مهم‌ترین سوخت جایگزین نفت، گاز طبیعی و ذغال سنگ می‌باشد. در مقایسه با نفت، زغال سنگ ارزان‌تر و دارای منابع بسیار متنوع است. همچنین ذخایر جهانی ذغال سنگ با احتساب میزان مصرف فعلی برای ۱۵۶ سال آینده کافی است. اما مقدار آلودگی CO_2 به ازای هر میلی‌ژول، دو برابر بیشتر از گاز طبیعی و هزینه کاهش این آلودگی پرهزینه و گران است. این موضوعات (کمبود سوخت و آلودگی محیط زیست) دلایل مهمی برای استفاده از منابع جدید (انرژی تجدیدپذیر) است. پیلهای سوختی کلید تامین انرژی پاک و مطمئن بر پایه هیدروژن و الکتریسیته‌اند [1]. با در نظر گرفتن این دلایل تکنولوژی پیل سوختی برای تولید جریان



شکل ۱-۱ انرژی اولیه کل جهان از سال ۱۹۷۱-۲۰۰۶ بوسیله سوخت (دیگر سوخت شامل: زمین گرمایی، خورشید، باد، حرارت و غیره) [2]



شکل ۱-۲ نفت کشف شده در طی دوره ۱۹۳۰-۲۰۰۰ [1]

الکتریسیته در بسیاری عرصه ها مورد توجه قرار گرفته است. این کاربردها به سه بخش بزرگ زیر تقسیم می شوند [3]:

- بخش قابل حمل

- بازار حمل و نقل

- بخش ساکن

در سال های اخیر به دلیل افزایش قیمت سوخت و قوانین سخت گیرانه درباره کنترل آبارگی هوا مطالعه در مورد پیل سوختی در زمینه کاربرد در بازار حمل و نقل بیشتر مورد توجه قرار گرفته است [3]. زیرا یکی از مزیت های مهم وسایل نقلیه پیل سوختی در مقابل وسایل نقلیه با موتور احتراق داخلی، تولید بازدهی بیشتر و کاهش آلودگی است [4].

پیل های سوختی را می توان براساس سوخت و اکسید کننده، نوع الکتروولیت و دمای عملیاتی طبقه بندی کرد. رایج ترین طبقه بندی پیل های سوختی براساس نوع الکتروولیت می باشد که شامل [5]: پیل سوختی غشای پلیمری (PEMFC)، پیل سوختی آلکلین (AFC)، پیل سوختی فسفریک اسید (PAFC)، پیل سوختی مولتن کربنات (MCFC)، پیل سوختی اکسید جامد دمای میانی (ITSOFC) و پیل سوختی اکسید جامد لوله ای (TSOFC) است. این پیل های سوختی دارای دمای عملیاتی